

DOI:10.3969/j.issn.1001-4551.2015.11.018

基于 FPGA 的磁悬浮微驱动器控制系统研究 *

杨莉莉¹, 郭亮*

(浙江理工大学 机械与自动控制学院, 浙江 杭州 310018)

摘要:针对磁悬浮微驱动器的实时精确控制问题,对新型绕组式磁悬浮微驱动器的结构与工作原理进行了研究,对磁悬浮微驱动器中的磁场分布进行了理论分析,提出了一种基于 FPGA 的磁悬浮微驱动器悬浮系统的运动模型以及 PID 控制系统,并通过 Matlab 仿真实验验证了该数学模型。完成了系统的硬件控制电路及相应的软件设计,搭建了基于 FPGA 的磁悬浮微驱动器悬浮控制实验系统。该系统可利用位置环对磁悬浮微驱动器进行 PID 控制,并在上位机 Delphi 界面中显示悬浮状态,通过对所设计的 PID 控制器的控制精度、大范围精确控制性能、动态性能和跟踪性能进行了实验验证。实验结果表明,该系统响应速度快、可靠性高,可实现 2 mm 范围的精度为 1 μm 的控制。

关键词:磁悬浮;AD7671;FPGA;PID;卡尔曼滤波

中图分类号:TH39;TP273;TM359.4

文献标志码:A

文章编号:1001-4551(2015)11-1483-06

Control system research on magnetic levitation micro actuator based on FPGA

YANG Li-li¹, GUO Liang¹

(Faculty of Mechanical Engineering and Automation, Zhejiang Sci-Tech University, Hangzhou 310018, China)

Abstract: Aiming at the problem of real-time and precise control of magnetic levitation micro actuator, the structure and the principle of the novel magnetic levitation micro actuator with moving-windings were researched. Based on the analytical model magnetic field distribution derived by using the equivalent surface current method, a suspension control model based on FPGA was proposed. The dynamic model of the magnetic levitation system was built. Then, a control system using PID control strategy was constructed, and the dynamic and stability performances were verified by simulation experiments. The hardware control circuit of the system was built and the software design was also programmed. The FPGA-based experimental system of the magnetic levitation micro actuator was constructed finally. Levitation status of the mover can be tested by the odd current sensors, and the information can be collected and illustrated by the PC via Delphi interface. The experiment results indicate that the control system can realize high-precision position with high respond speed and good tracking performance. The system is able to achieve a precision control of 1 μm in the range of 2 mm.

Key words: magnetic levitation; AD7671; FPGA; PID; kalman filtering

0 引言

微驱动器是指能产生精度较高的驱动力器件或装置,其作为微机电系统(MEMS)的核心部件,广泛存在

于微小机器人的活动关节、微小航天仪器、磁盘驱动、超精密加工等方面,因此对微驱动器的测量控制研究显得尤为重要^[1-2]。由于传统的接触式、气浮式微驱动器难以在定位精度、运动自由度等方面实现更高的设

收稿日期:2015-06-04

基金项目:浙江省自然科学基金资助项目(LY14E070008)

作者简介:杨莉莉(1989-),女,江苏南通人,主要从事平面电机控制方面的研究. E-mail:hi_lily@yeah.net

通信联系人:郭亮,女,副教授,硕士生导师. E-mail:lguo@zstu.edu.cn

计要求,磁悬浮式微驱动器以其优越的定位性能受到了广泛关注,并在精密微小领域获得了更大的发展。磁悬浮微驱动器系统是一个非线性、参数摄动、耦合、抗干扰能力差的精密复杂系统^[3-4],对于动子多自由度的运动控制是由单个自由度运动控制结合而成的,因此完成动子多自由度精确定位的重要基础是动子的无静差稳定悬浮。

本研究主要实现对磁悬浮微驱动器悬浮状态的精确控制,传统控制系统中常采用 PC 或 DSP 进行控制,PC 控制系统中外部数据采集卡的采样频率较低,难以满足高速数据处理的要求,进而无法实现高精度控制的目的;DSP 运算速度快,合适处理密集的加乘运算^[5],但用户可自定义管脚过少,不利于实现对多相电机的控制。而 FPGA 以其高时钟频率著称,不仅内部延时小,能并行运行程序完成大量数据运算,而且扩展性较好,便于后续控制系统功能的升级^[6-7],经过综合分析比较后,选择型号为 EP2C5T144I8 的 FPGA 作为主控芯片,用于实现磁悬浮微驱动器的悬浮系统控制。

本研究针对目前磁悬浮微驱动器的实时精确控制问题,对 FPGA 的磁悬浮微驱动器进行了研究。

1 磁悬浮微驱动器

1.1 磁悬浮微驱动器结构

层叠绕组式磁悬浮微驱动器的结构如图 1 所示,它由背铁、塑胶板、空心绕组及定子永磁阵列等 4 部分组成。其中:定子部分的永磁体采用二维 Halbach 的永磁矩阵结构,该矩阵由形状尺寸完全相同的 109 块钕铁硼材料制成的永磁体模块和 12 块铁块组成,动子部分采用层叠式空心绕组的结构,四层绕组正交叠加,自上而下的四层导线中第一、三层沿 y 方向铺设,第二、四层沿 x 方向铺设^[8]。

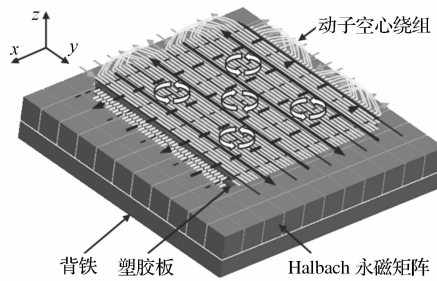


图 1 磁悬浮微驱动器结构

1.2 磁悬浮微驱动器工作原理

动子线圈采用相互间隔的直导线的形式排列,通过改变动子导线中的通电电流的大小和方向,即可改变动子导线板受到的洛伦兹力,从而改变动子的悬浮

状态。

本研究以图 1 中最底层的沿 x 方向排列的直导线为对象进行分析,该层动子导线板与永磁体的位置关系如图 2 所示。相邻实线之间的导线电流方向相同,磁场为水平方向。笔者将水平充磁磁块上方虚线间的绕组设置为悬浮力控制绕组,其余绕组则设置为水平推力控制绕组;改变悬浮力控制绕组的电流即可实现动子直导线板的悬浮定位和绕 x 轴旋转,而改变水平推力控制绕组的电流即可实现其 y 方向的平动,同理可对 y 方向排列的空心绕组进行分析,并由此得出结论。通过控制绕组中的电流可实现动子线圈 5 个自由度的运动,分别为沿 x、y、z 轴平移以及绕 x 轴、y 轴旋转。

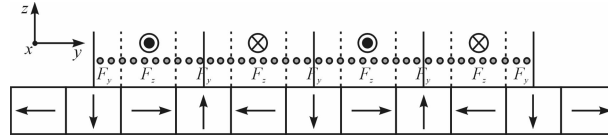


图 2 动子导线与永磁阵列位置示意图

1.3 磁悬浮微驱动器动子运动模型

为了避免悬浮过程中动子线圈其他自由度方向的运动,本研究利用滚珠直线轴承把动子线圈固定在 4 根垂直杆上,使其只能进行 z 方向运动。通过对动子线圈的电流控制调整后使得每根导线中电流元受到的洛伦兹力方向向上。以动子导线板的位移、运动速度以及电流为变量,根据洛伦兹力、电路原理以及运动学相关原理可知,悬浮微驱动器动子的运动模型如下:

$$\begin{cases} \dot{x}_1 = x_2 \\ \dot{x}_2 = \frac{T}{m} \cdot x_3 - g + \frac{f_r}{m} + \frac{f_d}{m} \\ \dot{x}_3 = -\frac{R}{L} \cdot x_3 + \frac{U}{L} \end{cases} \quad (1)$$

式中:T—磁场强度;g—重力加速度;f_r—动子导线板所受的摩擦力;f_d—系统所受到的外部干扰;l—磁场中每根导线的长度;m—动子导线板质量,其值为 313.36 g;R—单根导线电阻,其值为 0.7 Ω;L—直导线形成的等效电感,其值为 84.3 μH;U—系统输出的控制电压。

2 PID 控制仿真

PID 控制通过对误差进行比例、积分、微分调节,具有参数调整方便、结构简单、稳定性好等优点^[9]。为减小计算过程中产生的误差,本研究对 PID 算法进行离散化后分别得到第 k 次和第 k-1 次控制算式,两式相减后得到增量型 PID 控制算法公式如下式所示:

$$u(k) = u(k-1) + k_0 e(k) + k_1 e(k-1) + k_2 e(k-2) \quad (2)$$

式中: K_p 、 K_i 、 K_d —比例、积分、微分环节对应的参数,系数 $k_0 = K_p + K_i + K_d$, $k_1 = -K_p - 2K_d$, $k_2 = K_d$, $e(k)$ 、 $e(k-1)$ 和 $e(k-2)$ 分别为第 k 、 $k-1$ 和 $k-2$ 次测量偏差。

笔者通过 Matlab 对微驱动器运动模型进行 PID

控制仿真,其仿真模型如图 3 所示。结合 Signal Constraint 调节 PID 参数,仿真出的 PID 参数为 $K_p = 10.9861$, $K_i = 2.7043$, $K_d = 0.0707$, PID 参数下系统的 1 mm 阶跃响应仿真波形如图 4 所示。仿真结果的超调为 4%,整定时间 0.06 s,稳态误差小于 1%。

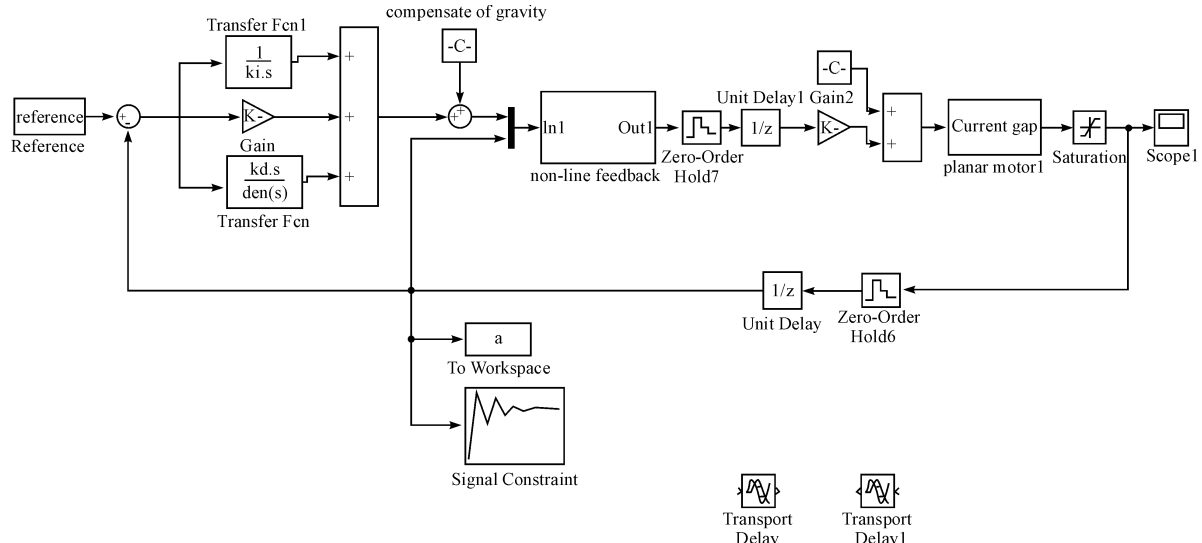


图 3 PID 控制仿真模型

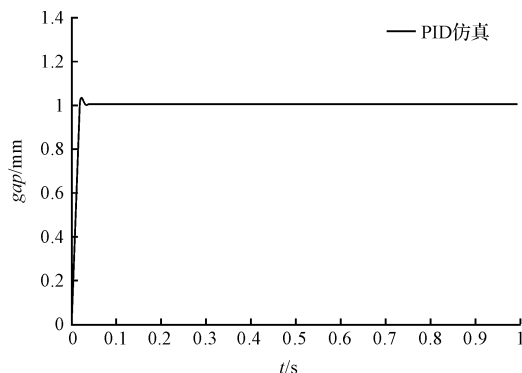


图 4 PID 仿真波形

3 控制系统硬件设计

为实现动子无静差悬浮和快速响应,需设计硬件系统将采集到的动子悬浮气隙高度转化为电压信号,经过数据处理后将控制信号传输给动子线圈,从而实现整个系统的闭环控制。控制系统选用涡流传感器 KD2306-2S1 测量动子悬浮高度,输出的位移信号经 A/D 转化为数字量后传输至 FPGA 中,数字信号在 FPGA 中完成滤波算法,通过电压转换后完成 PID 控制算法,最后由 FPGA 将控制信号发送给 DA 并输出至驱动器,从而完成驱动平面电动机的工作。同时需要将采集到的电压信号传输至 PC 机并转化成动子线圈的悬浮高度,实时显示在上位机界面上,观察响应时间、超调量、波动等信息,验证控制效果。系统硬件

框图如图 5 所示。

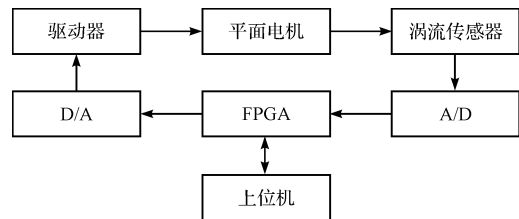


图 5 系统硬件框图

3.1 A/D 采样电路

A/D 采样电路中使用的 ADC 芯片 AD7671AST 为 16 位逐次逼近式高精度模数转换器,其最高采样速率可达 1 MSPS。为了驱动 AD7671 且保持其 SNR 和转换噪声的性能,选择低噪声、高增益带宽的 OP07AZ 作为输入缓冲器,并接入 10 pF 的外部补偿电容。2.5 V 参考电压由电源转换芯片 ADR421 提供。OVDD 输入引脚设置为数字 3.3 V 以匹配 FPGA 的端口电压^[10-11]。

(1) WARP 和 IMPLUSE 配置为低电平,使 AD7671 工作于 NORMAL 模式;

(2) SER/PAR 配置为低电平,使采样电路输出 16 位并行信号;

(3) 采集的微驱动器悬浮信号的范围为 -10 V ~ 10 V,依据模拟输入配置表将 INA 接参考电压 REF, INB, INC 接模拟地、IND 接模拟输入;

(4) CS, CNVST, RD, BUSY 控制引脚和 16 位 DATA 数据引脚分别与 FPGA 各引脚相连,完成 AD7671

的采样过程。

3.2 DA 数据输出电路

DA 芯片选用 16 位串行高速数模转换芯片 AD5545,为了输出 ± 5 V 的信号,DA 输出口外接高精度运算放大器 AD8620,运算放大电路中选用 0.01% 精度的电阻以提高输出精度。FPGA 通过 CS、RS 及 LDAC 控制信号将数据从 SDI 引脚输出至 DA,完成驱动控制。

4 控制系统软件设计

FPGA 内部逻辑控制模块主要包括 ADC 采样模块、FIFO^[12]模块、滤波模块、PID 控制模块、DAC 数据输出模块及 RS-232 通信模块,FPGA 逻辑控制软件的整体框图如图 6 所示。

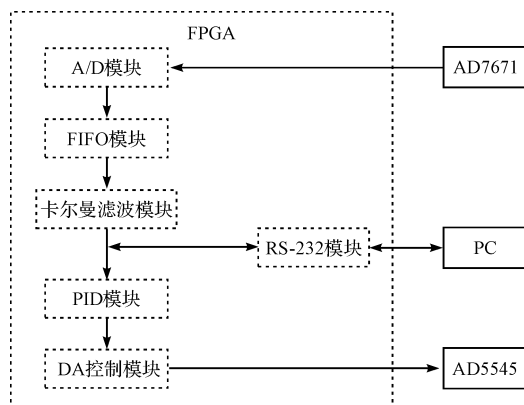


图 6 软件控制系统框图

4.1 A/D 采样控制模块

A/D 采样时序由 FPGA 控制产生,而时钟信号由 AD7671 内部自己产生。CNVST 低电平时启动转换,完成信号读取,两个时钟周期后使 CNVST 为高电平,进入数据保持阶段,BUSY 为 AD7671 的反馈信号,一旦 A/D 开始转换,则变为高电平,在 BUSY 为高电平时选通 RD 并读取上一次转换数据。状态机初始状态为 S0,此时 RD 和 CS 为高电平状态,CNVST 为低电平,将 CS 变为低电平,CNVST 变为高电平后,进入 S1 状态,即开始模数转换,等待 1 个时钟周期后进入 S2 状态判断 BUSY 是否为高电平,是则进入 S3 状态,将 RD 变为低电平,并开始读取转换结果;否则继续等待,读取完成后返回 S0 状态。

4.2 FIFO 缓存模块

为解决 A/D 数据采集速度和后续卡尔曼滤波器运算速度匹配问题,本研究通常在中间加入 FIFO 缓存器。FIFO 缓存模块为四级缓存,该模块分别检测写信号和读信号,检测到写使能信号且寄存器未满时,将

数据保存至寄存器,同理,检测到读使能信号时完成从寄存器中读取数据。

4.3 卡尔曼滤波模块

卡尔曼滤波是用一组递归方程组来估计系统的状态。卡尔曼滤波方法计算速度快,占用内存少,满足磁悬浮控制系统实时性的要求,当信号和噪声同时输入时,卡尔曼滤波器能在保留信号的同时,最大程度抑制噪声^[13]。卡尔曼滤波算法步骤如下:

- (1) 设置系统初始估计值 X_0 , 初始均方误差阵 P_0 和初始信号值 Z_k ;
- (2) 由式(4)计算出预测误差 $P_{k|k-1}$;
- (3) 再根据式(5)计算出滤波增益 K_k ;
- (4) 将数据代入(3)可得最优预测值 $X_{k|k-1}$;
- (5) 最后根据以上数据通过式(7)计算出最优滤波估计值 X_k , 同时根据公式(6)更新 P_k 的值。

通过步骤(1)~(5)完成了一次滤波周期算法,卡尔曼滤波计算公式如下:

(1) 最优预测值:

$$\hat{X}_{k|k-1} = \varphi_{k|k-1} \hat{X}_{k-1} \quad (3)$$

(2) 预测误差协方差:

$$P_{k|k-1} = \varphi_{k|k-1} P_{k-1} \varphi_{k|k-1}^T + \Gamma_{k|k-1} Q_{k|k-1} \Gamma_{k|k-1}^T \quad (4)$$

(3) 滤波增益矩阵:

$$K_k = P_{k|k-1} H_k^T (H_k P_{k|k-1} H_k^T + R_k)^{-1} \quad (5)$$

(4) 估计误差协方差:

$$P_k = (I - K_k H_k) P_{k|k-1} \quad (6)$$

(5) 最优滤波估计值:

$$\hat{X}_k = \hat{X}_{k|k-1} + K_k \cdot (Z_k - H_k \cdot \hat{X}_{k|k-1}) \quad (7)$$

其中:滤波估计值 $X_k = \begin{pmatrix} x_1 \\ x_2 \end{pmatrix}$, 状态转移矩阵 $\varphi_{k|k-1} = \begin{bmatrix} 1 & T \\ 0 & 1 \end{bmatrix}$, 噪声状态转移矩阵 $\Gamma_{k|k-1} = \begin{bmatrix} T^2/2 \\ T \end{bmatrix}$, 观测转移矩阵 $H_k = (1 \ 0)$, 噪声方差 $Q_k = 2$, 量测噪声方差 $R_k = 4$ 。

4.4 PID 算法控制模块

PID 算法选择并行方式实现,采用增量式算法将 PID 微分方程分解为 FPGA 易实现的基本运算式,以便于将运算器和数据类型进行归一化处理,达到减少运算算子的目的。对并行结构方法进行改进的运算思路如下:

- (1) 减法运算通过二进制补码形式实现,即 $A - B = A + (B \text{ 补})$;
- (2) 扩展加法运算位数,同符号数相加时可能出现运算结果位数溢出,因此在数据运算中将数据结果扩展一位;

(3) 由于 FPGA 不支持浮点运算,故将浮点数转换成定点数进行运算;

(4) FPGA 只能进行整数运算,为保留采样数据的精度,计算时需要将实数转换为整数,即将数据扩大 10^n 使小数转化为整数,计算后再使输出结果缩小 10^n 作为输出信号;

(5) 寄存器 REG 可锁存信号,3 路信号并行计算减少了延时时间,提高了运算的速率。

笔者根据公式(2)对期望值 $r(k)$ 与测量值 $y(k)$ 的偏差 $e(k)$ 进行 PID 运算,其中系数 k_0, k_1, k_2 均由仿真得出,与改进后的并行结构共需要 4 个加法器、3 个乘法器,比传统并行结构少用了 3 个减法器,不仅减少了连线数量,且提高了对设计的加法 IP 核的利用率,降低了设计的难度,提高了工作效率。

4.5 DA 控制模块

DA 控制输出状态机初始状态为 S0,此时 CS = 0, LDAC = 0; CS 与 LDAC 均变为高电平后,进入 S1 状态;CS 上升沿触发 DAC 输入,将包括地址信号在内的 18 位数据传输至 DAC 内部的输入寄存器中,然后进入 S2 状态,此时计数器开始从 0 ~ 18 的计数,保证 DAC 完成输入寄存器的数据串行移位至 DAC 寄存器;改变 CS 和 LDAC 的电平,使 CS 和 LDAC 变为低电平,进入 S3 状态,完成数模转换并输出。

4.6 RS-232 通信模块

FPGA 与上位机通信采用 RS-232 通信方式,波特率设定为 9 600,即接收一个 bit 的时间为 $1 \text{ s} / 9600 = 104 \mu\text{s}$ 。由于 FPGA 的晶振为 50 MHz,故可用 50 M 时钟设计计数器,并根据计数器发送数据,一次完整数据接收需要有 1 144 000 ns,所以计数器必须计满 57 200 次,所以需要 16 位计数器。由于 A/D 采样得到的数据为 16 位,而 RS-232 一次最多传送 8 位,本研究将 16 位数据分成两部分,高、低 8 位依次经过 RS-232 与上位机通信。

5 实验及结果分析

为验证磁悬浮控制系统的可行性,笔者搭建实验平台。磁悬浮平台的动子表面积略大于永磁体,边长大约为 120 mm,动子板的 4 个角通过滚珠式直线轴承与竖直导轨相连,使动子只产生 z 方向位移,导轨上安装涡流传感器对悬浮高度进行实时测量,控制信号通过驱动器线性放大后转化为微驱动器动子绕组的输入电流信号,调节动子导线板与定子永磁体间相互作用的电磁力从而控制动子悬浮高度,上位机中实时显示

控制效果。磁悬浮控制实验系统框图如图 7 所示。

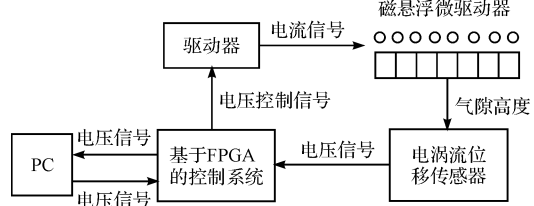


图 7 磁悬浮控制实验系统框图

在 PID 控制器下的磁悬浮系统的 1 mm 阶跃响应实验图如图 8 所示。系统频率为 10 kHz,通过分析曲线可知该系统的超调量为 4.2%,整定时间为 0.05 s,系统的稳态误差为 1 μm ,与图 4 仿真结果基本一致。

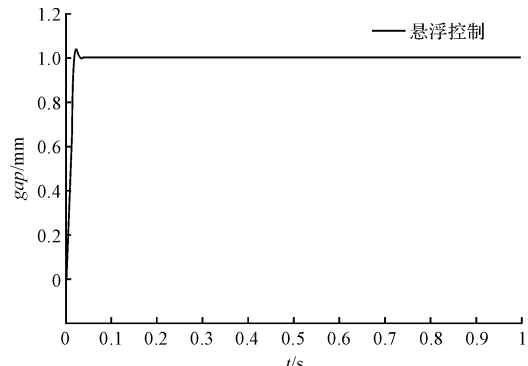


图 8 PID 控制下系统阶跃图

验证磁悬浮控制系统的控制精度,控制系统在 1 mm 和 1.7 mm 气隙高度下 1 μm 位移的多次阶跃响应图形如图 9 所示。从图 9 中可以看出系统能快速作出反应且波动范围在 1 μm ,基本能够实现定位精度为 1 μm 的大范围精确控制。

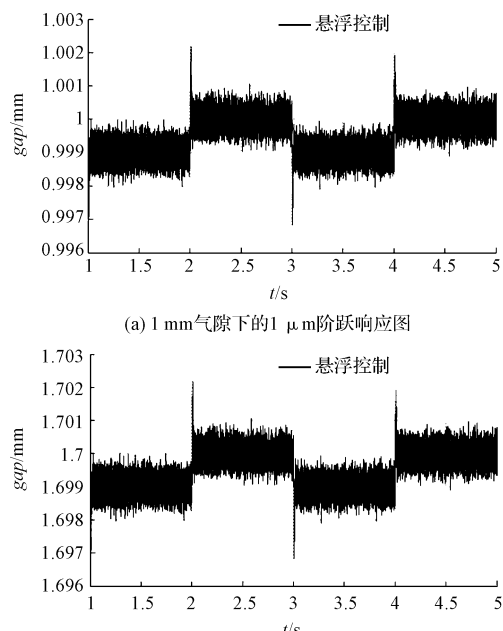


图 9 1 μm 阶跃响应

然后验证磁悬浮系统在 PID 控制下的运动跟踪能力,在 1 mm 气隙下对正弦目标信号的跟踪实验结果如图 10 所示,系统对峰-峰值为 20 μm ,频率为 10 rad/s 的正弦信号跟踪图如图 10(a)所示,可看出系统符合预期曲线,跟踪效果较好,对峰-峰值为 2 μm ,频率为 10 rad/s 的正弦信号跟踪图如图 10(b)所示,可以看到动子运动图形与预期正弦信号基本一致,并具有优良的实时性。

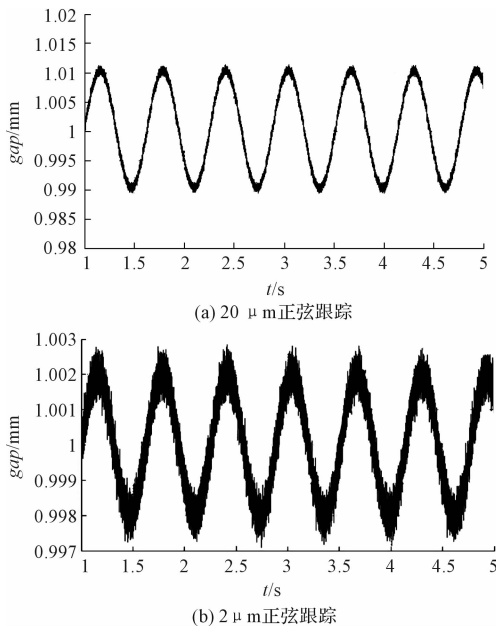


图 10 正弦跟踪响应

6 结束语

该设计的硬件电路能对磁悬浮微驱动器悬浮运动模型进行精确的信号采集,PID 控制算法能切实有效地对悬浮信号进行闭环实时控制,通过搭建悬浮控制系统实验平台对磁悬浮微驱动器进行实时 PID 控制实验,通过将控制系统仿真数据与实验数据进行对比可知,在 1 mm 阶跃响应中,系统上升过程和稳态过程几乎完全相同,验证了运动模型的准确性。通过对不同气隙下的连续阶跃响应和不同幅值的正弦跟踪响应图形可知,系统的反应速度快、跟踪范围大、跟踪延迟和

跟踪误差小、控制精度高,实现了 2 mm 范围内 1 μm 精度的悬浮微运动控制,在磁悬浮微驱动器微小定位方面有着良好的应用,为 MEMS 的精密化方向发展奠定了基础。

参考文献(References):

- [1] 赵立敏. MEMS 微驱动器的设计、工艺及应用 [D]. 西安: 西安电子科技大学机电工程学院, 2014.
- [2] 周海波. 磁悬浮直线运动系统的设计与控制研究 [D]. 湖南: 中南大学机电工程学院, 2010.
- [3] 仇志坚, 戴军, 陈小玲. 基于不完全微分 PID 的斥力型磁悬浮平台控制系统研究 [J]. 微特电机, 2014, 42(10): 75-77.
- [4] CHEN J, YANG S. Design of magnetic levitation micro-actuator positioning control system [J]. **Application of Electronic Technique**, 2012, 38(3): 96-98.
- [5] 侯正男, 蒋启龙, 刘东. 基于 DSP 的交流磁悬浮稳定控制 [J]. 电力电子技术, 2014, 48(9): 48-50.
- [6] JASTRZEBSKO R, POLLANEN R, PYRHONEN O. Real-Time Emulator of Magnetic Suspension System for FPGA-based Controller [C]//Mechatronics, 2006 IEEE International Conference on. IEEE, 2006: 98-103.
- [7] 柏滢, 林都, 鲜浩. 基于 FPGA + DSP 的数据采集与实时处理系统的设计 [J]. 传感器世界, 2014, 20(10): 27-31.
- [8] 张钊. 层叠绕组式磁悬浮永磁直流平面电机鲁棒控制系统研究 [D]. 浙江: 浙江理工大学机械工程学院, 2014.
- [9] 李垂君. 基于 FPGA 的 PID 控制器研究与实现 [D]. 辽宁: 大连理工大学电子与信息工程学院, 2008.
- [10] 李苏, 李辉. 基于 AD7671 的声波采集电路设计 [J]. 石油工业计算机应用, 2012(4): 29-31.
- [11] 樊凡, 张鹏. 高精度模数转换器 AD7671 的原理及应用 [J]. 今日电子, 2004(9): 57-58.
- [12] XIAO J. Implementation of asynchronous FIFO buffer based on FPGA [J]. **Electronic Measurement Technology**, 2009, 32(11): 92-94.
- [13] 周倩. 车辆组合导航中卡尔曼滤波器的设计及 FPGA 实现 [D]. 北京: 北京交通大学电子信息工程学院, 2009.

[编辑:洪炜娜]

本文引用格式:

杨莉莉, 郭亮. 基于 FPGA 的磁悬浮微驱动器控制系统研究 [J]. 机电工程, 2015, 32(11): 1483-1488.

YANG Li-li, GUO Liang. Control system research on magnetic levitation micro actuator based on FPGA [J]. Journal of Mechanical & Electrical Engineering, 2015, 32(11): 1483-1488.

《机电工程》杂志: <http://www.meem.com.cn>